

鋼纖維の引張強度と鋼纖維補強コンクリートの性能

岐阜大学 学生員 ○尾崎公則

岐阜大学 正会員 国枝 稔 鎌田敏郎 六郷恵哲

岐阜工業高等専門学校 正会員 島崎 鑑

1.はじめに

鋼纖維補強コンクリート(SFRC)は、引張および曲げ強度をはじめ、ひび割れ拘束性能、韌性などが普通コンクリートに比べて格段に優れている複合材料である。SFRCの性能は、マトリックス自身の性能はもちろん、纖維混入率や纖維自身の特性、纖維の分散、配向性状等によっても異なってくる。

本研究では、鋼纖維単体の引張強度が、SFRCの破壊性状にどのような影響を及ぼすのかについて調べた。破壊力学パラメータである引張軟化曲線の推定や、AE法による非破壊試験を行い、SFRCの韌性改善に及ぼす効果を、鋼纖維単体の引張強度の点から評価した。

2.実験概要

長さ30mm、アスペクト比50～52の市販の鋼纖維3種類(図-1)について、纖維単体の引張強度試験(写真-1)を実施した。纖維の引張試験の方法であるが、鋼纖維の両端1cmを2つのプライヤーで固定し、一方のプライヤーを万力で固定、もう一方には、柄の



図-1 鋼纖維の形状

部分に針金を巻き付け、その針金にフック付きのおもり載せ皿を引っ掛けた。なお、おもりは、100g単位で載せていく、纖維が破断した時の荷重を計測した。引張強度は、纖維の最大引張荷重を断面積で割ることにより算出した。

また、同じ鋼纖維を用いて、纖維混入率1%、W/Cが30%または60%の高強度および低強度なマトリックスを有するSFRCはり供試体(幅10cm、高さ20cm、長さ70cm(スパン長さ60cm))を作製した。載荷方法を3等分点曲げ載荷とし、荷重載荷点変位の計測と、各荷重レベル(ここでは、最大荷重時と最大荷重の60%まで荷重が低下した時点)でのAE計測を行った。AE計測は、150kHzの共振型AEセンサを用い、増幅率を計80dB、しきい値を45dBに設定して行った。なお、得られた荷重変位曲線をもとに、多直線近似解析手法^[1]を介して、引張軟化曲線の推定を行った。SFRC供試体の配合を表-1、AEセンサの配置図を図-2に示す。



写真-1 試験状況

表-1 コンクリートの示方配合

シリーズ	W/C (%)	単位量(kg/m ³)					Ad. (kg/m ³)
		W	C	S	G	F	
A30	30	184.2	612	855	617	78.5	8.57
							9.18
							7.96
A60	60	184.2	307	1049	755	78.5	3.99
C60							4.30
G60							2.46

Ad. : 高性能AE減水剤

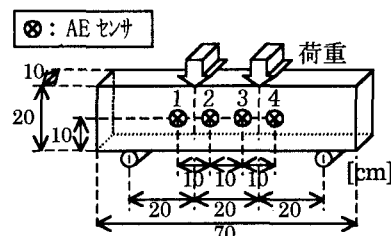


図-2 AEセンサの配置図

3.実験結果

鋼纖維の寸法ならびに引張強度等の計測結果を表-2、表-3に、AEの計測結果(W/C30%の場合)を図-3に示す。推定された引張軟化曲線ならびに引張軟化曲線下の面積を図-4、表-4に示す。

表-2 鋼纖維単体の重さおよび寸法計測結果

シリーズ	計測本数(本)	平均長さ(mm)	1本当たりの平均重さ(mg)	平均断面積(mm ²)
A	50	29.9	71.2	0.304
C	50	30.2	54.4	0.229
G	50	29.7	60.4	0.260

表-3 鋼纖維単体の引張強度試験結果

シリーズ	繊維の引張強度		
	平均値(MPa)	標準偏差(MPa)	変動係数
A	831	49.3	0.059
C	480	57.7	0.120
G	820	85.5	0.104

マトリックスが高強度(W/C30%)な場合、引張強度の値が小さいシリーズCの鋼纖維を用いたSFRCはり供試体では、最大荷重以降において、繊維の破断に起因するものではないかと思われる、比較的、振幅規模の大きなAE(振幅85dB以上)が計測された。また、破壊力学パラメーターである引張軟化曲線の形状もシリーズCのみが、大きく異なり、引張軟化曲線下の面積も、最も小さくなつた。

なお、マトリックスが低強度(W/C60%)なSFRC供試体の場合、図-4や表-4の引張軟化曲線の形状や曲線下の面積に見られるように、鋼纖維単体の引張強度の違いによる影響は確認されなかつた。

4.まとめ

長さ30mm、アスペクト比50~52の市販の鋼纖維3種類について、繊維単体の引張強度試験を行つた。また、同纖維を用い、マトリックス強度の異なるSFRCはり供試体を作製し、AE法による評価の他、引張軟化曲線の形状や、曲線下の面積といった破壊力学パラメータによる評価も行つた。

その結果、引張強度の値が最も小さい鋼纖維を用いた高強度マトリックスを有するSFRCにおいては、最大荷重以降において、繊維の破断に起因するものではないかと思われる、比較的、振幅規模の大きなAEが計測された。また、破壊力学パラメーターである引張軟化曲線下の面積も小さくなつた。これにより、マトリックス強度が高強度な場合のSFRCにおいて、纖維混入による韌性改善の効果は、鋼纖維単体の引張強度に依存する可能性があることが示された。

謝辞:本実験における鋼纖維単体の引張試験においては、岐阜工業高等専門学校環境都市工学科、栗原一嘉氏、寺境則繁氏より、多大なるご協力を頂いた。ここに記して謝意を表す。

参考文献:[1]栗原哲彦、安藤貴宏、国枝 稔、内田裕市、六郷恵哲:多直線近似法による引張軟化曲線の推定と短纖維補強コンクリートの曲げ破壊性状、土木学会論文集、No.532/V-30、pp.119~129、1996.2

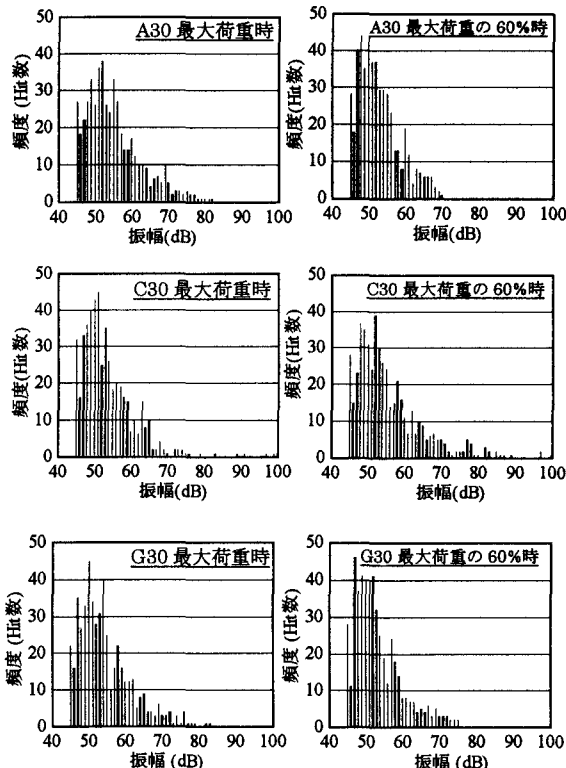


図-3 W/C30%SFRCにおける
AEの振幅規模別頻度分布

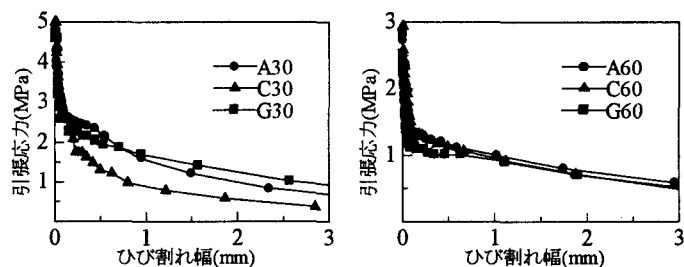


図-4 引張軟化曲線

表-4 引張軟化曲線下の面積

シリーズ	引張軟化曲線下の面積[N/mm]
A30	3.01
C30	2.06
G30	2.97
A60	1.72
C60	1.69
G60	1.54